

LB.9001

Grauvacas y pizarras del
C.E.G. (7) del Precámbri
co superior. La S_1 , para
lela al eje mayor del -
martillo, forma un amplio
ángulo con la S_0 .





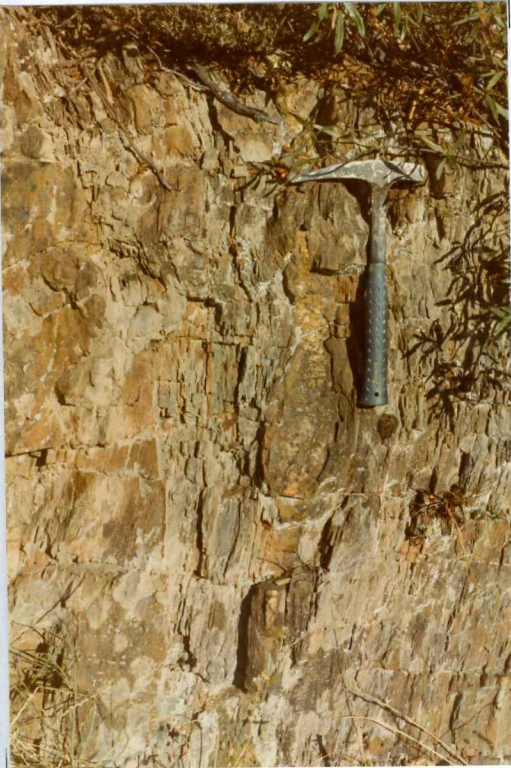
LB 9002. Pizarras del C.E.G. (7), un ligero plegamiento tardío, los planos axiales de los pliegues son subhorizontales.



LB 9003. Pliegues tardíos de plano axial subhorizontal en
pizarras del C.E.G. (7)

LB 9004

Dique de cuarzo "budinado",
armado en pizarras y grau-
vacas del C.E.G. (7). El
dique, sin representación
cartográfica pertenece a
la familia subparalela a
la S_1 .





LB 9006. Detalle de un afloramiento de granito de dos micas con carácter porfídico variable (3), donde se pueden observar los fenocristales de feldespato.



LB 9005. Vista parcial de los granitos de dos micas con carácter porfídico variable (3), el N de Montehermoso.



LB 9007. Detalle de granito de dos micas con carácter porfírico variable (3)



LB 9008. Detalle de granítico con predominio de moscovita

LB 9009.

Detalle de granito aplí-
tico al S de la localidad
de Aceituna.





LB 9010. Vista general de un dique de cuarzo (2) de dirección -
N 30° E

1. Dique de cuarzo
2. Granitos de dos micas con carácter porfídico variable.
3. Complejo Esquisto Grauváquico



LB 9011

Vista parcial de las facies de borde de la Cuenca de Coria de la base del cerro de Marifranca, angulo SO - de la Hoja.



LB 9012. Detalle de un nivel de conglomerados de la fotografía anterior. Observese el buzamiento que presenta.



LB 9013. Vista parcial de la cuenca de Coria. En primer término arcosas y arcillas (9).



LB 9014. Detalle del aspecto que presentan las facies de borde de cuenca (Cuenca de Coria), en el ángulo SE de la Hoja.



LB 9015. Vista de un talud en arcosas y arcillas (9) en las proximidades del contacto con las facies de borde de cuenca (8)



LB 9016. Detalle del afloramiento anterior donde se puede observar pequeños cantos de esquistos y de cuarzo.



LB 9017. Aspecto de las arcosas y arcillas (9) de la Cuenca de Coria en facies más evolucionadas que la foto - grafía anterior.



LB 9018. Aspecto parcial de los depósitos de la primera terraza del río Alagón (11). Cerro de Marifranca.



LB 9019. Detalle de la terraza pliocuaternaria (11) de la fotografía anterior.

LB 9020

Base de la terraza pliocua-
ternaria (11) de la foto -
grafía anterior en contac-
to con arcillas rojizas --
pertenecientes a la unidad
de arenas y arcillas (9) -
de la Cuenca de Coria.





LB 9021. Aspecto de los depósitos de terraza perteneciente a los niveles inferiores del río Alagón.



LB 9022. Vista parcial del nivel de terraza de la fotografía anterior que ha sido explotado para áridos.



LB 9023. Vista parcial de la cuenca de Coria. Al fondo el Cuerno de la Mesa, en cuya parte superior se localiza uno de los primeros niveles de terraza del río